

## Влияние зазоров на величину динамических нагрузок в механизме подъема мостового крана

МАМАЕВ Л.М., МИХАЙЛУСЬ А.С.

Днепродзержинский государственный технический университет

Определены динамические нагрузки в зубьях зубчатых колес редуктора мостовых кранов

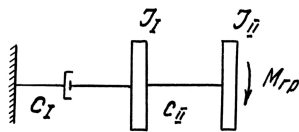
Визначені динамічні навантаження в зуб'ях зубчатих коліс редуктора мостових кранів

Dynamic loadings in cogwheels of a reducer of bridge cranes are determined

**Введение.** Работа в целом посвящена задачам, связанным с определением динамических нагрузок и расчетам на прочность сложных механических систем.

**Постановка задачи.** Во многих случаях при работе мостовых кранов выходит из строя редуктор механизма главного подъема. При этом, в большинстве случаев, ломаются зубья на быстроходной шестерне редуктора. Между зубьями зубчатых колес редуктора может возникнуть зазор, который приводит к тому, что приведенные массы получают некоторую дополнительную начальную скорость. После выборки зазора зубья зубчатых колес получают дополнительные динамические нагрузки.

**Решение задачи.** С целью учета влияния зазоров между зубьями зубчатых колес редуктора на величину динамических усилий в зубьях, рассмотрим двухмассовую расчетную схему с зазором.



Здесь  $I_I$  - приведенный момент инерции зубчатых колес, валов редуктора и барабана;  $I_{II}$  - приведенный момент инерции груза.

Приведение осуществляется к выходному валу редуктора:  $C_I$  - приведенная жесткость упругих элементов редуктора;  $C_{II}$  - приведенная жесткость канатов;  $M_{zp}$  - приведенный крутящий момент от веса груза.

В качестве примера для расчета взят мостовой кран грузоподъемностью 15 т, на котором установлен редуктор РМ-650. В течение первого этапа движения системы происходит выборка зазора. Обозначим величину зазора  $\Delta$ . На первом этапе движения системы будет происходить выборка зазора  $\Delta$ . Найдем чему будет равна угловая скорость приведенных масс  $I_I$  и  $I_{II}$  в конце первого этапа движения системы. Для этого воспользуемся дифференциальным уравнением движения приведенных масс

$$(I_I + I_{II})\ddot{\varphi} = M_{zp}. \quad (1)$$

Начальные условия движения выберем в такой форме. При  $t = 0$ ,  $\varphi = 0$ ,  $\dot{\varphi} = 0$ .

После интегрирования уравнения (1) получим

$$\begin{aligned} (I_I + I_{II})\dot{\varphi} &= M_{zp}t; \\ (I_I + I_{II}) \cdot \varphi &= M_{zp} \frac{t^2}{2}. \end{aligned} \quad (2)$$

Найдем время движения, в течение выборки зазора

$$t = \sqrt{\frac{2(I_I + I_{II})\Delta}{M_{zp}}}.$$

Зная время движения, найдем угловую скорость в конце первого этапа движения

$$\dot{\varphi}_I = \sqrt{\frac{2M_{zp}\Delta}{I_I + I_{II}}}. \quad (3)$$

После выборки зазора получим двухмассовую расчетную схему без зазора. Для этого случая составим дифференциальные уравнения колебаний приведенных масс

$$\begin{cases} I_I \ddot{\varphi}_I = -C_I \varphi_I + C_{II}(\varphi_{II} - \varphi_I); \\ I_{II} \ddot{\varphi}_{II} = -C_{II}(\varphi_{II} - \varphi_I) + M_{zp}. \end{cases} \quad (4)$$

Однородная система уравнений, соответствующая неоднородной системе (4) будет иметь вид:

$$\begin{cases} I_I \ddot{\varphi}_I = -C_I \varphi_I + C_{II}(\varphi_{II} - \varphi_I); \\ I_{II} \ddot{\varphi}_{II} = -C_{II}(\varphi_{II} - \varphi_I). \end{cases} \quad (5)$$

Попробуем удовлетворить уравнения колебаний (5) функциями:

$$\begin{cases} \varphi_I = a_1 \sin(pt + \alpha); \\ \varphi_{II} = a_2 \sin(pt + \alpha). \end{cases} \quad (6)$$

Подставим выражения (6) в уравнения (5) получим:

$$\begin{cases} -C_I a_1 + C_{II}(a_2 - a_1) = -I_I a_1 p^2; \\ -C_{II}(a_2 - a_1) = -I_{II} a_2 p^2. \end{cases} \quad (7)$$

Находим из первого уравнения

$$\frac{a_2}{a_1} = \frac{C_I + C_{II} - I_I p^2}{C_{II}}. \quad (8)$$

И из второго уравнения  $\frac{a_2}{a_1} = \frac{C_{II}}{C_{II} - I_{II} p^2}$ . (9)

Совместность выражения (8) и (9) приводит к частному

уравнению  $\frac{C_I + C_{II} - I_I p^2}{C_{II}} = \frac{C_{II}}{C_{II} - I_{II} p^2}$ , (10)

содержащему единственную неизвестную частоту  $P$ .

После преобразования, получим уравнение

$$p^4 - \left( \frac{C_I + C_{II}}{I_I} + \frac{C_{II}}{I_{II}} \right) p^2 + \frac{C_I C_{II}}{I_I I_{II}} = 0. \quad (11)$$

Для квадрата частоты имеем два вещественных и положительных решения:

$$p_1^2 = \frac{1}{2} \left( \frac{C_I + C_{II}}{I_I} + \frac{C_{II}}{I_{II}} \right) \pm$$

$$\pm \sqrt{\frac{1}{4} \left( \frac{C_I + C_{II}}{I_I} + \frac{C_{II}}{I_{II}} \right)^2 - \frac{C_I C_{II}}{I_I I_{II}}}. \quad (12)$$

Таким образом, колебательный процесс оказывается двухчастотным и определяется функциями

$$\sin(p_1 t + \alpha_1) \text{ и } \sin(p_2 t + \alpha_2).$$

Чтобы отразить в общем решении обе гармоники, условным индексацию и запишем решение в виде

$$\left. \begin{aligned} \varphi_I &= a_{11} \sin(p_1 t + \alpha_1) + a_{12} \sin(p_2 t + \alpha_2); \\ \varphi_{II} &= a_{21} \sin(p_1 t + \alpha_1) + a_{22} \sin(p_2 t + \alpha_2). \end{aligned} \right\} \quad (13)$$

Здесь первый индекс у амплитуды  $a_{ik}$  означает координаты, а второй – номер слагаемого в строке (номер частоты). Если подставим в выражение (8) первую частоту, то получим отношение амплитуд первой гармоники:

$$\chi_{21} = \frac{a_{21}}{a_{11}} = \frac{C_I + C_{II} - I_I p_1^2}{C_{II}}. \quad (14)$$

Связь между амплитудами второй гармоники определяется тем же отношением (8)

$$\chi_{22} = \frac{a_{22}}{a_{12}} = \frac{C_I + C_{II} - I_I p_2^2}{C_{II}}. \quad (15)$$

Следовательно, вместо решений (6) можно записать:  $\varphi_I = a_{11} \sin(p_1 t + \alpha_1) + a_{12} \sin(p_2 t + \alpha_2)$ ;

$$\varphi_{II} = \chi_{21} a_{11} \sin(p_1 t + \alpha_1) + \chi_{22} a_{12} \sin(p_2 t + \alpha_2). \quad (16)$$

Получено общее решение однородной системы (5). Найдем частное решение системы в виде

$$\varphi_I = A_1; \quad \varphi_{II} = A_2.$$

Подставив эти значения в систему (4) получим

$$\begin{aligned} -C_I A_1 + C_{II} (A_2 - A_1) &= 0; \\ -C_{II} (A_2 - A_1) + M &= 0. \end{aligned}$$

Отсюда имеем  $A_1 = \frac{M}{C_I}$ ;  $A_2 = M \left( \frac{1}{C_I} + \frac{1}{C_{II}} \right)$ .

Теперь можно записать общее решение неоднородной системы (4)

$$\left. \begin{aligned} \varphi_I &= a_{11} \sin(p_1 t + \alpha_1) + a_{12} \sin(p_2 t + \alpha_2) + \frac{M}{C_I}; \\ \varphi_{II} &= \chi_{21} a_{11} \sin(p_1 t + \alpha_1) + \chi_{22} a_{12} \sin(p_2 t + \alpha_2) + \\ &+ M \left( \frac{1}{C_I} + \frac{1}{C_{II}} \right) \end{aligned} \right\} \quad (17)$$

Здесь собственные частоты  $P_1$  и  $P_2$  и отношения  $\chi_{21}$  и  $\chi_{22}$  зависят только от параметров колебательной системы. Величины  $a_{11}$ ,  $a_{12}$ ,  $\alpha_1$ ,  $\alpha_2$  должны быть определены из четырех начальных условий, выражающих значения смещений и скоростей обеих дисков при  $t = 0$ :  $\varphi_I = 0$ ,  $\varphi_{II} = 0$ ,  $\dot{\varphi}_I = \omega_0$ ,  $\dot{\varphi}_{II} = \omega_0$ , т.е. движение системы вызвано начальной угловой скоростью, полученной дисками во время выборки зазора. При помощи выражений (16) получаем

$$\left. \begin{aligned} a_{11} \sin \alpha_1 + a_{12} \sin \alpha_2 + \frac{M}{C_I} &= 0; \\ \chi_{21} a_{11} \sin \alpha_1 + \chi_{22} a_{12} \sin \alpha_2 + M \left( \frac{1}{C_I} + \frac{1}{C_{II}} \right) &= 0; \\ a_{11} p_1 \cos \alpha_1 + a_{12} p_2 \cos \alpha_2 &= \omega_0; \\ \chi_{21} a_{11} p_1 \cos \alpha_1 + \chi_{22} a_{12} p_2 \cos \alpha_2 &= \omega_0. \end{aligned} \right\} \quad (18)$$

Отсюда находим

$$\left. \begin{aligned} \operatorname{tg} \alpha_1 &= -\frac{M P_1}{\omega_0} \left( \frac{1}{C_I} + \frac{1}{C_{II}(1 - \chi_{22})} \right); \\ \operatorname{tg} \alpha_2 &= -\frac{M P_2}{\omega_0} \left( \frac{1}{C_{II}} + \frac{1}{C_{II}(1 - \chi_{21})} \right); \\ a_{11} &= \pm \sqrt{1 + \operatorname{tg}^2 \alpha_1} \cdot \frac{\omega_0}{P_1} \cdot \frac{1 - \chi_{22}}{\chi_{22} - \chi_{21}}; \\ a_{12} &= \pm \sqrt{1 + \operatorname{tg}^2 \alpha_2} \cdot \frac{\omega_0}{P_2} \cdot \frac{1 - \chi_{21}}{\chi_{22} - \chi_{21}}. \end{aligned} \right\} \quad (19)$$

Знак перед корнем зависит от знака  $\operatorname{tg} \alpha$ .

Величины  $P_1$ ,  $P_2$ ,  $\chi_{21}$ ,  $\chi_{22}$  известны; для их вычисления должны быть использованы формулы (12, 14, 15).

В качестве примера рассмотрим мостовой кран грузоподъемностью 15 т с редуктором РМ-650.

Для этого случая получены следующие исходные данные:

$$\begin{aligned} I_I &= 39,5 \text{ кг}\cdot\text{м}^2; & P_1 &= 28; \\ I_{II} &= 39,1 \text{ кг}\cdot\text{м}^2; & P_2 &= 74; \\ C_I &= 81100 \text{ н}\cdot\text{м}; & \chi_{21} &= 1,6; \\ C_{II} &= 83300 \text{ н}\cdot\text{м}; & \chi_{22} &= -0,64; \\ M &= 6250 \text{ н}\cdot\text{м}; & \ell_1 &= 0,1232 \cdot 10^{-4}; \\ \Delta &= 0,2 \text{ мм}; & \ell_{II} &= 0,12 \cdot 10^{-4}. \\ \omega_0 &= 0,2 \text{ с}^{-1}; \end{aligned}$$

Подставляя полученные значения в уравнения (16) будем иметь выражения для углов поворота листов I и II.

$$\left. \begin{aligned} \varphi_I &= -0,089 \cos 28t + 0,013 \cos 74t + 0,077; \\ \varphi_{II} &= -0,142 \cos 28t - 0,0083 \cos 74t + 0,152. \end{aligned} \right\} \quad (20)$$

Далее величину крутящих моментов на первом и втором упругих участках

$$M_I = C_I \varphi_I; \quad M_{II} = C_{II} (\varphi_{II} - \varphi_I). \quad (21)$$

Для этого в выражения (21) подставим значения  $\varphi_I$  и  $\varphi_{II}$  из (7). В результате получим

$$\left. \begin{aligned} M_I &= C_I a_{11} \sin(P_1 t + \alpha_1) + C_{II} a_{12} \sin(P_2 t + \alpha_2) + M; \\ M_{II} &= C_{II} (\chi_{21} - 1) a_{11} \sin(P_1 t + \alpha_1) + \\ &+ C_{II} (\chi_{22} - 1) a_{12} \sin(P_2 t + \alpha_2) + M. \end{aligned} \right\} \quad (22)$$

В результате получим:

$$\left. \begin{aligned} M_I &= -7218 \cos 28t + 973 \cos 74t + 6245; \\ M_{II} &= -4415 \cos 28t - 1833 \cos 74t + 6248. \end{aligned} \right\} \quad (23)$$

Величина коэффициентов динамичности будет равна

$$\left. \begin{aligned} \eta_I &= \frac{M_I}{M} = \frac{14503}{6250} = 2,32; \\ \eta_{II} &= \frac{M_{II}}{M} = \frac{12458}{6250} = 2,0. \end{aligned} \right\} \quad (24)$$

### Выводы

1. Наличие допустимых зазоров между зубьями зубчатых колес редуктора приводит к появлению динамических напряжений в 2-3 раза превышающих статические.
2. Результаты работы могут быть использованы для решения прикладных задач по определению динамических нагрузок сложных механических систем.